• 乳腺影像学 •

154 例乳腺癌新辅助化疗后 X 线表现与病理对照

张仁知,周纯武,李静,宋颖

【摘要】目的:探讨 X 线平片对乳腺癌新辅助化疗后残余病灶的诊断准确性。方法:回顾性分析 154 例乳腺癌新辅助化疗患者的病例资料,将脂肪型及少量腺体型乳腺归为 \mathbb{I} 型,多量腺体型及致密型乳腺归为 \mathbb{I} 型。对所有病例进行术前 X 线表现与术后病理的对照分析。结果:本组中 \mathbb{I} 型 35 例,其中 X 线平片表现与术后病理一致者 31 例 (88.58%),不一致者 4 例 (11.42%),X 线高估病灶范围 3 例,低估 1 例。 \mathbb{I} 型 119 例,一致者 30 例 (25.21%),不一致者 89 例 (74.79%),89 例中高估者 66 例 (其中 44 例 X 线仅表现为多形性钙化),假阴性者 23 例。 X 线平片对 \mathbb{I} 型乳腺癌新辅助化疗后残余病变的诊断准确性高于 \mathbb{I} 型 (P < 0.001)。结论: X 线片对 \mathbb{I} 型乳腺癌新辅助化疗后残余病变诊断准确性明显高于 \mathbb{I} 型 \mathbb{I} 数 \mathbb{I} \mathbb{I}

【关键词】 乳腺肿瘤;新辅助化疗;乳腺 X 线摄影术

【中图分类号】R814.41 【文献标识码】A 【文章编号】1000-0313(2010)07-0750-04

Comparative Study of mammographic findings with pathologic changes in 154 breast cancer patients under neoadjuvant chemotherapy ZHANG Ren-zhi, ZHOU Chun-wu, LI Jing, et al. Department of Diagnostic Radiology, Cancer Hospital, Chinese Academy of Medical Sciences, Peking Union Medical College, Beijing 100021, P. R. China

[Abstract] Objective: To investigate the accuracy of mammographic evaluation of residual breast cancer after neoadjuvant chemotherapy. Methods: 154 cases of breast cancer with neoadjuvant chemotherapy were retrospectively analyzed. The breast glands were divided into two types, type I containing more fat and lesser glands, and type II with dense compact tissue and plenty glands. The pre-operative mammographic findings of all cases were compared with pathologic changes postoperatively. Results: Among 35 cases with type I , mammographic findings of 31 cases were consistent with postoperative pathology (88, 58%), 4 cases (11, 42%) of inconsistency, 3 overestimated and one underestimated. In 119 cases with type II, 30 (25, 21%) cases were consistent with pathologic diagnosis and 89 (74, 79%) cases were inconsistent, including 66 cases of overestimation (only presented as pleomorphic calcification in 44 cases) and 23 of false-negative. Conclusion: The accurancy of mammographic evaluation for type I is significantly higher than that of type II (P < 0.001) in diagnosing residual breast cancer. For patients with only pleomorphic calcifications in type II, mammography can not accurately determine whether the residual foci exist and the scope of lesions.

[Key words] Breast neoplasms; Neoadjuvant chemotherapy; Mammography

近年来,乳腺癌发病率呈逐年上升趋势,位居我国女性恶性肿瘤第一位。新辅助化疗(neoadjuvant chemotherapy,NCT)在局部进展期乳腺癌及炎性乳腺癌的治疗中应用日益广泛,化疗结束后残余病变的准确评价,对决定临床下一步治疗方案尤为重要。本文通过分析 X 线评价乳腺癌新辅助化疗后残余病变的准确性,旨在为临床正确选择影像评价手段提供客观依据。

材料与方法

1. 临床资料

搜集本院 2005 年 6 月~2009 年 1 月接受乳腺癌 新辅助化疗的 154 例患者的病例资料,均为女性,年龄

通讯作者:周纯武,E-mail:cjr.zhouchunwu@vip.163.com

27~70岁,中位年龄48岁。所有病例均在化疗前行核心针穿刺活检证实为浸润性乳腺癌,在我院行4~6个周期的新辅助化疗,化疗结束后拟进行手术前均在本院行乳腺X线检查,检查与手术时间间隔为1~29d,平均14.5天。所有病例术后均在本院病理科依据 Miller and Payne (MP)分级系统取材规范进行取材、制片及组织学评价,术后病理评级为 MP1级4例,2级32例,3级87例,4级19级,5级12例。

2. X 线检查及评价方法

采用 Senographe DS 乳腺 X 线机,行常规双侧乳腺内外侧斜位及头足位摄片。依据美国放射学会制定的乳腺影像报告及数据系统(BI-RADS)第四版中有关乳腺类型的定义,本研究将脂肪型及少量腺体型乳腺称作 I型,多量腺体型及致密型乳腺称作 II型。将2种类型的乳腺 X 线图像由三位有经验的医师共同读片,对病灶的显示做出客观描述,然后均与我院病理科记录的术后大体及镜下病理描述进行对照分析。术前

作者单位:100021 北京,北京协和医学院,中国医学科学院肿瘤 院影像诊断科

作者简介:张仁知(1979一),女,河南通许人,博士研究生,主治医师,主要从事肿瘤影像诊断工作。

X 线所示病灶范围(均指浸润性癌)与镜下病理描述的 浸润性癌灶范围测量差异在 1 cm 内者称为两者一致, 否则为不一致。而对于术前 X 线及术后镜下病理均 诊断为仅残存导管原位癌者,无论 X 线测量病灶的范 围与镜下病理描述的测量范围差异是否在 1 cm 内,均 认为是两者一致。

术前X线与术后病理诊断Ⅰ、Ⅱ型乳腺癌新辅助 化疗后残余病灶的一致率比较,采用卡方检验。采用 SPSS 13.0 统计软件,P < 0.05 为差异有统计学意义。

果

1. 术前 X 线与术后病理诊断

术前X线与术后病理对Ⅰ、Ⅱ型乳腺癌新辅助化 疗后残余病灶的诊断一致率比较见表 1。

表 1 【、】型乳腺癌新辅助化疗后残余病灶一致率比较

类型	一致	不一致	合计	一致率
I 型	31	4	35	88.58%
Ⅱ 型	30	89	119	25.21%
合计	61	93	154	39.6%

 $注:\chi^2=45.391,P<0.001$ 。

2. I 型乳腺癌

化疗后术前 X 线表现与术后病理一致者共 31 例 (88.58%),其中 X 线表现为 2 个癌灶者 1 例(MP 3 级、图 1a),单发病灶者 30 例。单发者 X 表现为毛刺 样肿块者 16 例,不规则或分叶状肿物者 12 例,类圆形

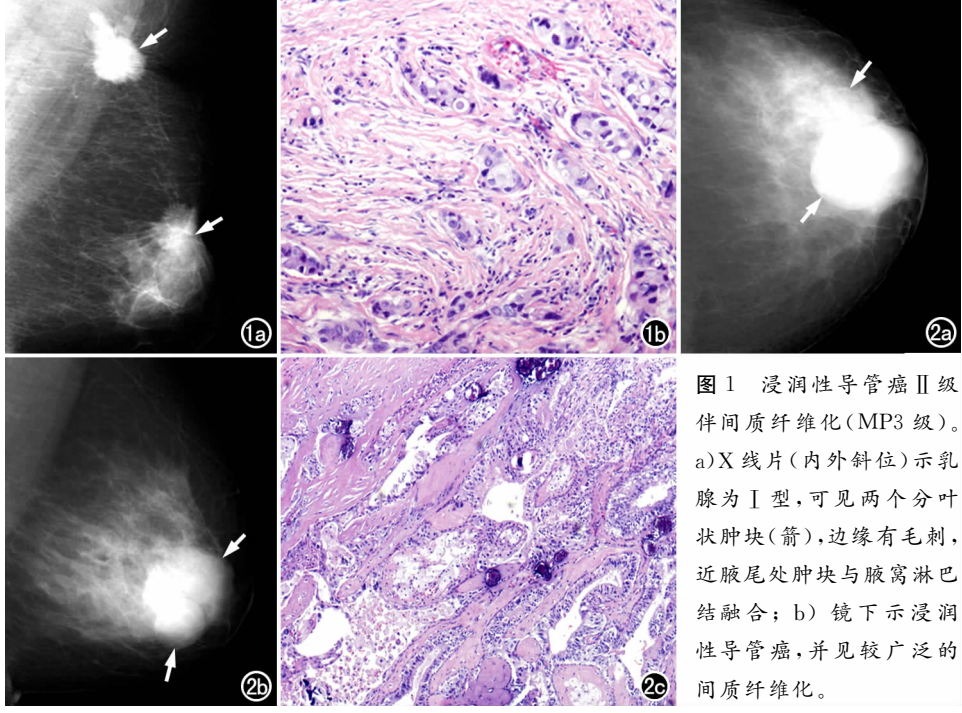
肿物者1例,仅表现为多形性 钙化未见具体肿块者1例,此 例大体病理标本检查亦未见 具体肿块。镜下示导管内癌 伴间质纤维化及钙化(MP 5 级,图 1b)。

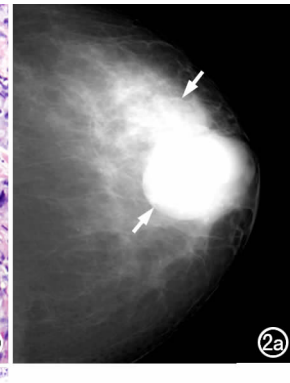
化疗后术前 X 线表现与 术后病理不一致者共 4 例 (11.42%):①X线表现为一 个毛刺样肿块且其内见多形 性钙化者1例,但术后大体病 理证实为两个病灶,并且较大 者体积大于 X 线所示肿块,镜 下为浸润性导管癌Ⅱ级,见脉 管内瘤栓,两病灶间有肿瘤组 织延续(MP 3 级); ② X 线表 现为2个类圆形肿块、其内及 周围伴多形性钙化者 1 例,而 大体病理表现为范围小于 X 线片所示两病灶体积之和的 一片质硬区,镜下表现为囊性 导管扩张,导管上皮增生,导管内癌伴钙化及胆固醇结 晶(MP 5 级,图 2);③X 线片所示肿块明显大于大体 病理所示者 2 例,1 例 X 线片上肿块内可见沿导管分 布的多形性钙化,镜下为导管内癌伴少部分微小浸润 癌及砂粒样钙化(MP 4 级),1 例为浸润性导管癌(MP 3级)。

3. Ⅱ型乳腺癌

119 例 Ⅱ 型乳腺癌中化疗后术前 X 线表现与术后 病理检查结果一致者 30 例(25, 21%):①X 线片及大 体病理均诊断为肿块者 25 例,其中 1 例镜下为浸润性 导管癌,部分为黏液腺癌(MP3级,图3),3例为浸润 性导管癌伴导管内癌,其余21例均为浸润性导管癌; ②X线片未见肿块及钙化者5例(MP5级),其中4例 大体及镜下病理均未见癌组织残存,1 例未见明确浸 润性癌细胞残存,仅见少量小灶状分布的导管内癌。

化疗后术前 X 线表现与术后病理不一致者 89 例 (74.79%):①X线片及术后大体病理均可见肿块,但 前者明显大干后者共21例,镜下均为浸润性导管癌: ②X 线表现为肿块,其内及周围可见多形性钙化者 1 例,大体病理亦可见与 X 线片一致的肿块,但镜下无 浸润性癌残存(MP 5 级),主要为退变的癌细胞及间 质纤维化及玻璃样变;③X线仅表现为钙化者44例, 其病理结果分别为大体病理表现为单发肿块者 34 例, 且其体积均小于 X 线所示钙化范围,其中镜下显示为 单纯导管内癌者4例,浸润性导管癌与导管内癌散在





伴间质纤维化(MP3级)。 a) X 线片(内外斜位) 示乳 腺为 [型,可见两个分叶 状肿块(箭),边缘有毛刺, 近腋尾处肿块与腋窝淋巴 结融合; b) 镜下示浸润 性导管癌,并见较广泛的 间质纤维化。

图 2 导管内癌。a) X 线轴位片示 T 型乳腺,可见两个类圆形肿块(箭),其内及周围伴多 形性钙化; b) X线内外侧斜位片示乳腺内2个病灶(箭); c) 镜下示囊性导管扩张、导管上 皮增生,导管内癌伴钙化及胆固醇结晶(MP5级)。

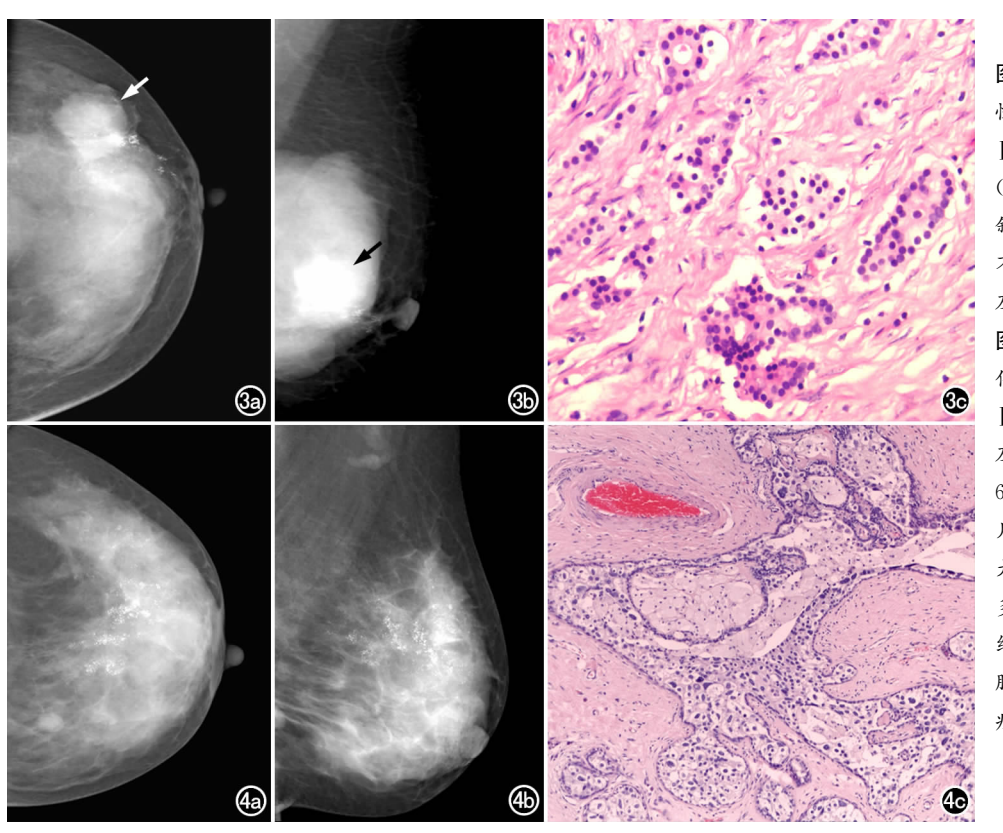


图 3 黏液腺癌及及少部分浸润 性导管癌 [级。a) X线轴位片示 Ⅱ型乳腺,可见一分叶状肿块 (箭),部分边缘浸润状;b) 内外 斜位片上肿块显示清晰,边缘略 不规则(箭); c) 镜下示黏液腺癌 及及少部分浸润性导管癌 [级。 图 4 高级别导管内癌伴多灶分 化差的浸润癌。a) X 线轴位片示 Ⅱ型乳腺,可见多形性、细小线样 及分支样钙化,范围约 6.0 cm× 6.2 cm×8.8 cm; b) 内外侧斜位 片示乳腺内多发钙化; c) 镜下示 大肿块主要呈高级别导管内癌伴 多灶分化差的浸润癌,伴间质纤 维化,小肿物见多发导管扩张、囊 肿形成,未见明确浸润癌残存,两 癌灶间有癌细胞浸润(MP3级)。

分布者 6 例,浸润性导管癌者 24 例;多发(2 个)癌灶者 2 例,且两癌灶最大径线之和小于 X 线所示钙化范围,镜下示两癌灶间有癌细胞浸润(MP 3 级,图 4);未见具体肿块者 8 例,其中镜下表现为导管内癌残存 1 例(MP 5 级),导管内癌残存、有明确脉管瘤栓、可疑间质浸润者 1 例(MP 4 级),浸润性癌者 6 例;④X 线表现为既无明确肿块又无钙化者 23 例,术后病理结果为大体可见明确肿块者 17 例(17/23),镜下均为浸润性导管癌,伴退变的癌细胞、炎细胞浸润。大体未见明确肿块者 6 例(6/23),镜下均见少许分化差的浸润性导管癌残存,散在分布,部分癌旁间质纤维化。

讨 论

新辅助化疗是指在手术或加放疗的局部治疗前给予的全身化疗。乳腺癌新辅助化疗的临床意义在于以下几点:①使不能手术的局部晚期乳腺癌(locally advanced breast cancer, LABC)经治疗后能够手术切除,显著提高了对局部肿瘤的治疗效果;②使肿瘤较大的可手术乳腺癌患者肿瘤缩小,临床分期降低,获得保乳机会。Bonadonna等[1]报道在乳腺肿块大于5cm的患者中NCT后,有73%的病例采用了保乳手术。Mauri等[2]也认为新辅助化疗的优势主要体现在增加保乳手术比例上;③NCT是有效的体内药敏试验,为术后化疗方案的选择提供可靠依据;④防止肿瘤细胞增殖、耐药细胞产生,防止因血管生成因子减少而加速肿瘤发展、转移。因此,迫切需要选择一种或几种能够

有效反映化疗后病灶的真实病理情况的检查手段,本 文仅通过与术后大体及镜下病理的对照研究,探讨 X 线评价 NCT 后乳腺癌病灶形态、范围等方面的准确 性。

1992 年美国放射学会提出的乳腺影像报告系统和数据系统(Breast Imaging Reporting And Data System, BI-RADS)对规范乳腺 X 线报告、减少影像描写的混淆起着较大的作用^[3],被国内外较大的医疗机构普遍接受并采用。本文将依据 BI-RADS 对乳腺的分类,进而对 X 线评价乳腺癌 NCT 后残余病灶的准确性进行总结分析。

由本研究结果可以看出,X线片对于Ⅰ型乳腺的乳腺癌新辅助化疗后残余病灶的范围诊断准确性较高,术前 X线与术后病理—致者可达 88.58%,明显高于Ⅱ型,且两者差异有显著性意义(P<0.001),而且 X线检查经济、简便、易行,可以作为此类型乳腺癌新辅助化疗后术前的常规评价手段。但应该看到,还有4例(11.42%)的病例 X线诊断与病理结果不吻合,且不吻合的 4 例中 X 线均可见多形性钙化,2 例镜下为伴有导管内癌的浸润性癌灶。可见,对于伴有多形性钙化灶的 Ⅰ型乳腺癌患者,X 线不能准确判断病灶的范围,Kubata等[4]通过对 42 例乳腺癌的研究发现,MRI 在评价化疗后残存的导管内癌方面不及钼靶和超声 US 准确。本研究 31 例吻合者中有 1 例 X 线仅表现为多形性钙化,未见具体肿块,我们诊断为浸润性癌灶完全缓解,病理证实为 MP 5 级,且镜下可见导管

内癌伴钙化,所以作者认为,对于萎缩性或少腺体型乳腺内的乳腺癌灶经新辅助化疗后,若无具体肿块,基本可以认为病灶达到完全缓解;若仅见到典型多形性钙化,则认为是导管内癌的标志。此结论需要大样本病例进一步验证。总之,对于化疗后有导管内癌残存的病例,选择何种影像检查方法可以有效评价新辅助化疗后的病灶,有待进一步的大样本量研究来决定。

张晓鹏等[5]统计 X 线对诊断致密性乳腺内乳腺 癌的敏感度仅50%~68%,约10%的乳腺癌不能被X 线发现,本研究将致密型、多腺体型乳腺合在一起统称 为Ⅱ型乳腺,则 X 线与术后病理吻合率约 25, 21%,其 中 X 线上表现为具体肿块者占 83.3%(25/30), X 线 表现为阴性者病理证实为完全病理缓解即 MP 5 级, 约占 16.7% (5/30)。但换个角度分析本研究结果可 以发现如下特点:Ⅱ型乳腺的乳腺癌 NCT 后患者,术 前 X 线表现为具体肿块的诊断符合率为 53.19%(25/ 47),其余 46.81%的患者虽然 X 线仍表现为肿块,但 肿块的大小却明显大于病理检查确定的真正肿瘤残余 的大小,有1例镜下病理未完全缓解。仔细分析这些 病例的镜下表现会发现这样的规律,化疗后癌细胞明 显退化,残余的癌细胞周围可见明显的间质纤维、玻璃 样变,可见 X 线不能很好区分化疗后肿瘤残存与间质 纤维化或玻璃样变,往往高估残余病灶的大小,这与 Shah 等[6]的结论一致。

Ⅱ型乳腺的乳腺癌 NCT 后患者,术前 X 线与病理不符合率为 74.79%(89/119),除了以上分析的 X 表现为具体肿块者(22/89),更多的为 X 线仅表现为钙化者(44/89),即对于 II 型乳腺的乳腺癌 NCT 后病例,若 X 线仅表现为多形性钙化,无论钙化的分布、范围如何,均不能准确判断残余肿瘤真实范围的大小。以往相关文献中未提及此现象。故通过本组研究结果可以有效地提醒临床医师,对于乳腺癌新辅助化疗后手术前的患者,若 X 线检查发现仅表现为多形性钙化者,一定要建议患者行进一步影像检查,如 MRI,来判断残余肿瘤的有无以及具体范围。有研究认为 MRI可以准确评价乳腺癌新辅助化疗后是否有残余病变及

残余病变的大小[7]。

最后一大类 II 型乳腺的乳腺癌 NCT 后术前 X 线诊断与术后病理结果不一致者为 X 线既不表现为肿块也不表现为钙化,即 X 线结果为阴性者(23/89),但病理证实有浸润性癌残存,且 73.92%(17/23)病例大体标本检查显示有残存肿块,其余 6 例残存癌灶散在分布,未形成具体肿块。可见,对于 II 型乳腺的乳腺癌患者,若其 NCT 后 X 表现为阴性者,仅依据 X 线检查不能确定有无残余病灶,而需要进一步进行其它影像检查,比如超声、MRI等,才能做出准确判断。

总之,有关乳腺癌新辅助化疗的疗效评价问题,仍然是临床医师,包括乳腺内科、乳腺外科及影像科医师共同密切关注的问题,怎样更有效地评价化疗后乳腺癌灶的真实大小、形态、分布等等,需要多个科室有效、系统的配合,对更多病例进行多种影像检查的对照研究。

参考文献:

- [1] Bonadonna G, Valagussa P, Brambilla C, et al. Primary chemotherapy in operable breast cancer. Eight-year experience at the milan cancer institute[J]. J Clin Oncol, 1998, 16(1): 93-100.
- [2] Manri D, Pavlidis N, Ioannidis JP. Neoadjuvant versus adjuvant systemic treatment for breast cancer: a meta-analysis[J]. J Natl Cancer Inst, 2005, 97(3):188-194.
- [3] 顾雅佳,吴斌,张帅,等. 使用乳腺影像报告和数据系统诊断乳腺疾病的体会[J]. 中华放射学杂志, 2004, 38(9):931-936.
- [4] Kubota K, Oqawa Y, Nishioka A, et al. Diagnostic accuracy of mammography, ultrasonography and magnetic resonance imaging in the detection of intraductal spread of breast cancer following neoadjuvant chemotherapy[J]. Oncol Rep, 2007, 17(4):915-918.
- [5] 张晓鹏,彭卫军,李洁.乳腺癌影像学的现状与展望[J].中国肿瘤 影像学,2008,1(1):7-11.
- [6] Shah SK, Shah SK, Greatrex KV. Current role of magnetic resonance imaging in breast imaging: a primer for the primary care physician[J]. J Am Board Fam Pract, 2005, 18(6): 478-490.
- [7] Garimella V, Qutob O, Fox JN, et al. Recurrence rates after DCE-MRI image guided planning for breast-conserving surgery following neoadjuvant chemotherapy for locally advanced breast cancer patients[J]. Eur J Surg Oncol, 2007, 33(2):157-161.

(收稿日期:2009-11-30 修回日期:2010-03-10)